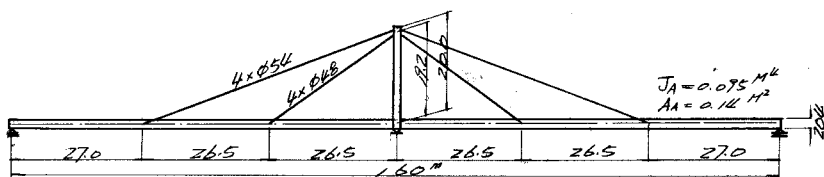


II-20 斜張橋(神納橋)の設計及び模型実験について

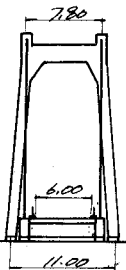
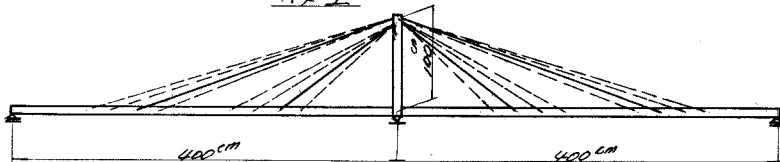
北海道開発局札幌開発建設部 正員 外崎 忍

北海道北広知地区の産業経済の発展に伴い、道々神居古澤納内深川線の道路整備計画が実施に移された。神納橋は、この路線の起点旭川市神居古澤及ヒ納内村の境界に位置する未改修の石狩川本流を横断する為、長スパンの橋梁とする必要があつた。架橋計画に際し、種々検討の結果斜張橋を採用する事になったが、この型式の橋梁は殆んど例式無く上部構造の設計に先立つて、その応力特性を明らかにする為模型実験を行つた。以下この実験の概要及び本体の設計の内容について述べる。

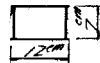
側面図



模型



模型主塔



主構は上図に示す様に2室間連續桁と2本のケーブルで吊つた構造で、更に横断方向には両端に箱桁を配して鋼床版で連結した形である。塔は下端ヒンジで上端付下側ケーブルに固定してロワギングタワーとし上側ケーブルもロワカーボン塔上に取付けられる。かくすればケーブル応力は死荷合計で結局は次不等式で構造とする。

次に模型については、ケーブル応力の分布及び影響主眼とし、ケーブル影響線係数の相似率成1に近づける様設計した。(即ち $\frac{E_c}{E_{cA}}$ と $\frac{E_c}{E_{cA}}$ の比が一定であれば良い)

ケーブルにはウチピアノ線を1本づゝ使用し、主塔は3.2枚の薄板の箱桁とした。ケーブル碇着点は25cm間隔に4箇所設け、碇着点を変えて11組の形式について実験を行つた。又測定値の精度を上げる爲には300kgの集中荷重が必要となつたが、挺子に依り $\frac{1}{10}$ の荷重を目的を達する事が出来た。実験内容は集中荷重に依るケーブル応力、桁の応力と挠み、プレストレスの効果及び振動実験であるが、結果について当曰報告する。

模型と本体との各寸法及び比率を表に示すと次の様である。

	Z_L	A	J	$A_c \text{ (cm}^2\text{)}$	E_c	$\frac{E_c}{E_J}$	$\frac{E_c}{E_{cA}}$	$\frac{E_c}{E_{cA}} \cdot \frac{E_{cA}}{E_c}$
模型	800	12.5	117.5 cm^4	0.385	2.000.000	0.259	0.000288 0.000377	1240 684
本体	16000	1400	9502.000	6204 80.52	1.650.000	0.256	0.000319 0.000426	803 600
比率	1:20	1:112	1:80.800	1:161 1:209				1:0.65 1:0.88

次に本体設計について述べる。使用ケーブルの選定に当つては、弾性係数、鋼索密度、破断荷重、疲労強度、維持状態等を検討の結果ロフクドコイルロープを使う事に決定した。橋脚は文書应力の範囲が大きいと低温脆性の問題があるので鋼成は充分吟味する事にして工場溶接、現場鉄接とした。床版には鋼床版を使用して死荷重を軽減し又剛度を大にしめて経済性を高めた。尚鋼床版の計算は Homberg の方法に依り行った。

主行の計算は次の様に行つた。先づ死荷重に対する死荷重モーメントを 80%近く減少させる事が出来た。又プレストレスの加え方は、アンカーソケットの後部にネジを切り込み、之をセンターホールギヤで引張るが、ソケット合倉タワリープに依りプレストレスが減少した場合、再びロックギヤ装置によることになった。尚当初は 1 年間程度のクリープを見込んで上側ケーブル 12t、下側ケーブル 14t、充分にプレストレスを加える事にした。又このロックギヤ装置に依り死荷重を利用して、ワイヤーホーリングプリテンションを行なう予定である。

活荷重の計算は、前述の様に次不確定構造として行なう。この解法には色々な方法があるが、この場合は連続桁の主系とレケーブル応力を不確定量に置き、次式により解ける。

$$\begin{aligned} & \left(\int \frac{M_a^2 \sin^2 \theta_a}{EJ} ds + \int \frac{N_a^2 \cos^2 \theta_a}{EA} ds + \int \frac{N_a^2}{E_c A_c} ds \right) X_a + \left(\int \frac{M_a M_b \sin \theta_a \sin \theta_b}{EJ} ds + \int \frac{N_a N_b \cos \theta_a \cos \theta_b}{EA} ds + \right. \\ & \quad \left. \int \frac{N_a N_b}{E_c A_c} ds \right) X_b = \int \frac{M_a M_b \sin \theta_a ds}{EJ} + \int \frac{N_a N_b \cos \theta_a ds}{EA} + \int \frac{N_a N_b}{E_c A_c} ds. \\ & \left(\int \frac{M_a M_b \sin \theta_a \sin \theta_b}{EJ} ds + \int \frac{N_a N_b \cos \theta_a \cos \theta_b}{EA} ds + \int \frac{N_a N_b}{E_c A_c} ds \right) X_a + \left(\int \frac{M_b^2 \sin^2 \theta_b}{EJ} ds + \int \frac{N_b^2 \cos^2 \theta_b}{EA} ds + \right. \\ & \quad \left. \int \frac{N_b^2}{E_c A_c} ds \right) X_b = \int \frac{M_a M_b \sin \theta_a ds}{EJ} + \int \frac{N_a N_b \cos \theta_b ds}{EA} + \int \frac{N_a N_b}{E_c A_c} ds \end{aligned}$$

$$E_c' = \frac{1}{\frac{1}{E_c} + \frac{\alpha c^2 t^2 \sin^2 \theta}{A T E_c E}}$$

θ_a : 行と上側ケーブルの角度

θ_b : " 下 " "

α : 塔の歩道に依るケーブルの見かけの弾性率

E_c : ケーブルの弾性率

A : 行の断面積

A_c : テーブルの断面積

A_T : 塔の断面積

X_a : 上側ケーブル应力

X_b : 下 " "

